

## CORRELAÇÃO EXPERIMENTAL DE TRANSFERÊNCIA DE CALOR POR CONVECÇÃO NATURAL ENTRE SÓLIDOS E UM FLUIDO

Carlos Alberto de Melo\*

MELO, C.A. Correlação experimental de transferência de calor por convecção natural entre sólidos e um fluido. *Rev. Ensino Eng., São Paulo, 4(1): 78-81, 1.º sem. 1985.*

Foi construído um circuito para determinar uma correlação experimental de transferência de calor entre sólidos e um fluido. Utilizou-se a técnica da condução de calor em sólidos no estado transitório para determinar os coeficientes de transferência de calor entre sólidos e o fluido. Estes coeficientes foram ajustados aos parâmetros adimensionais de convecção natural usando a técnica de regressão linear.

Transferência de calor. Convecção natural.

MELO, C.A. An experimental correlation of heat transfer by free convection between solids and a fluid. *Rev. Ensino Eng., São Paulo, 4(1): 78-81, 1.º sem. 1985.*

A loop was built to determine an experimental correlation of heat transfer between solids and a fluid. The unsteady state heat conduction technique was utilized. The heat transfers coefficients between solids and a fluid were determined and adjusted to dimensionless parameters of free convection by using linear regression.

Heat transfers. Free convection.

### 1 INTRODUÇÃO

Foi construído um circuito que mantém um banho de fluido a temperatura controlada, para determinar uma correlação experimental de transferência de calor por convecção natural entre sólidos e um fluido. A técnica experimental usada está relacionada com a condução de calor em sólidos no estado transitório. O tempo necessário para que um determinado ponto do interior de um sólido, imerso em um fluido a temperatura controlada, atinja uma outra temperatura, depende da geometria e do material do sólido. Foram utilizados sólidos de geometrias e materiais diferentes; para a determinação do coeficiente médio de transferência de calor entre o banho e o sólido. Isto permitiu a determinação dos parâmetros adimensionais de convecção natural, os quais foram ajustados a uma das equações propostas na bibliografia existente.

### 2 CIRCUITO EXPERIMENTAL

A Figura 1 mostra os componentes básicos do circuito. Sua operação é iniciada ligando-se a bom-

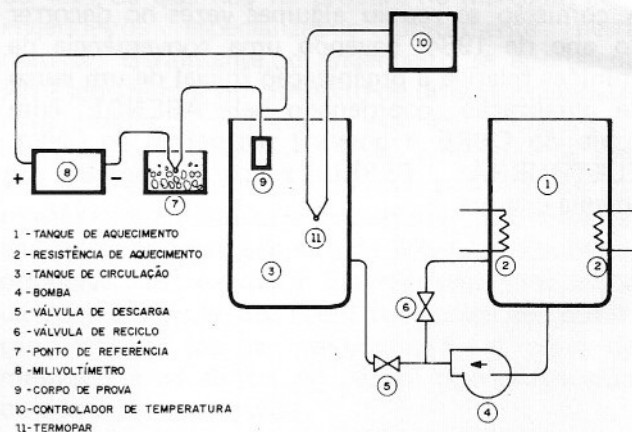


Figura 1 - Esquema do Circuito

ba que promove a circulação do fluido. Atua-se no controlador, selecionando a temperatura do banho ( $T_{\infty}$ ). Ligam-se as chaves das resistências elétricas. A temperatura inicial do centro de massa do sólido ( $T_0$ ) é verificada, antes de mergulhá-lo no banho. Finalmente, o aquecimento do centro de massa do sólido é acompanhado a cada instante ou registrado diretamente.

\* DEM - Universidade Federal de Uberlândia, MG.

### 3 FORMULAÇÃO MATEMÁTICA E ANÁLISE DOS RESULTADOS

#### 3.1 Placas Planas e Infinitas

- Equação Geral da Condução de Calor Unidimensional:

$$\frac{\partial T}{\partial t} = \alpha \frac{\partial^2 T}{\partial x^2} \quad (3.1.1)$$

$$\alpha = \frac{K}{\rho C}, \text{ onde:}$$

- C – Calor específico do material  
K – Condutibilidade térmica do material  
T – Temperatura  
t – Tempo  
X – Distância linear em relação ao plano diametral da placa  
 $\alpha$  – Difusibilidade térmica do material  
 $\rho$  – Densidade.

- Condições de contorno:

No instante  $t \leq 0$ ,  $T = T_0$  para  $-L \leq x \leq +L$

Na posição  $x = +L$ ,  $-K \frac{\partial T}{\partial x} = \bar{h} (T - T_\infty)$  para  $t > 0$

Na posição  $x = -L$ ,  $K \frac{\partial T}{\partial x} = \bar{h} (T - T_\infty)$  para  $t > 0$

- $\bar{h}$  – coeficiente médio de transferência de calor por convecção natural  
L – metade da espessura da placa  
 $T_0$  – temperatura inicial  
 $T_\infty$  – temperatura do banho (fluido).

- Solução da equação (3.1.1), conforme referência [1]:

$$\frac{T - T_\infty}{T_0 - T_\infty} = 2 \sum_{n=1}^{\infty} \frac{\exp[-\beta_n^2 (\alpha t / L^2)] (L\bar{h}/K) \sec(\beta_n) \cos[\beta_n (x/L)]}{(L\bar{h}/K) (L\bar{h}/K + 1) + \beta_n^2} \quad (3.1.2)$$

$\beta_n$  = raízes positivas de (3.1.3)

$$\beta \tan(\beta) = (L\bar{h}/K) \quad (3.1.3)$$

$$\Psi = \frac{T - T_\infty}{T_0 - T_\infty} \text{ – Temperatura adimensional}$$

- Fo =  $\alpha t / L^2$  – Número de Fourier  
Bi =  $L\bar{h}/K$  – Número de Biot  
x/L – Posição adimensional

À medida que  $\alpha t / L^2$  cresce, a série converge ainda mais rapidamente até que, para  $\alpha t / L^2 = 0,6$ , somente o primeiro termo é importante [3]. Na maioria dos experimentos  $\alpha t / L^2 > 0,6$ . Assim, tem-se em  $x = 0$ :

$$1n\Psi = -\beta_n^2 \text{ Fo} + 1n a, a = \text{cte} \quad (3.1.4)$$

O valor de  $\beta_n^2$  é encontrado, ajustando os valores medidos  $\Psi$  e Fo à equação (3.1.4), por regressão linear, conforme a Figura 2. O valor de  $\bar{h}$  é determinado pela equação (3.1.3).

#### 3.2 Esferas

- Condução em Coordenada Esférica

$$\frac{\partial T}{\partial t} = \alpha \left( \frac{\partial^2 T}{\partial r^2} + \frac{2}{r} \frac{\partial T}{\partial r} \right) \quad (3.2.1)$$

- r – Distância radial em relação ao centro da esfera.

- Condições de Contorno:

No instante  $t \leq 0$ ,  $T = T_0$  para  $0 \leq r \leq R$

Na posição  $r = 0$ ,  $\frac{\partial T}{\partial r} = 0$  para qualquer instante

Na posição  $r = R$ ,  $-K \frac{\partial T}{\partial r} = \bar{h} (T - T_\infty)$  para  $t > 0$

- $\bar{h}$  – coeficiente médio de transferência de calor por convecção natural

R – Raio da esfera.

- Solução da equação (3.2.1), conforme referência [1]:

$$\frac{T - T_\infty}{T_0 - T_\infty} = 2 \sum_{n=1}^{\infty} \frac{\exp[-\beta_n^2 (\alpha t / R^2)] [(\sin(\beta_n) - \beta_n \cos(\beta_n r / R)]}{\beta_n - \sin \beta_n \cos \beta_n} \quad (3.2.3)$$

$\beta_n$  – Raízes positivas e negativas de (3.2.3)

$$\beta \cot(\beta) + (R\bar{h}/K) - 1 \quad (3.2.3)$$

Considerando somente o primeiro termo da série, tem-se:

$$p/r = 0: 1n\Psi = -\beta_n^2 (\alpha t / R^2) + 1n b, b = \text{cte}$$

$$1n\Psi = \beta_n^2 \text{ Fo} + 1n b \quad (3.2.4)$$

O valor de  $\beta_n$  é encontrado, ajustando os valores medidos  $\Psi$  e  $F_o$  à equação (3.2.4), por regressão linear, conforme a Figura 3. O valor de  $\bar{h}$  é determinado pela equação (3.2.3).

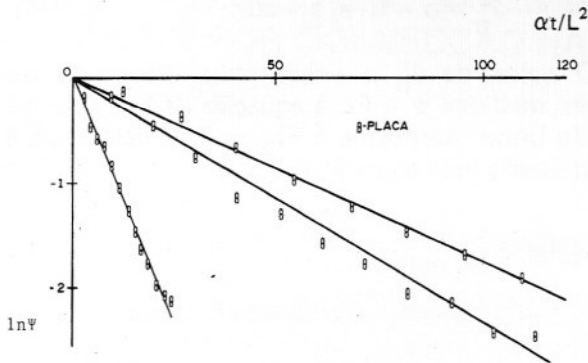


Figura 2 - Ajuste dos dados experimentais à equação (3.1.4)

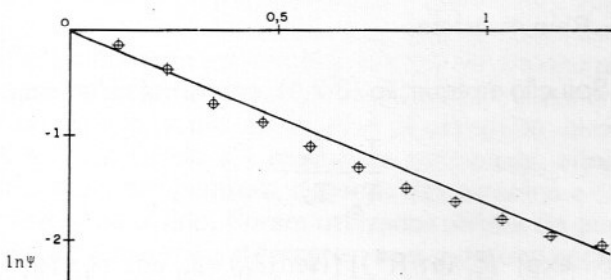
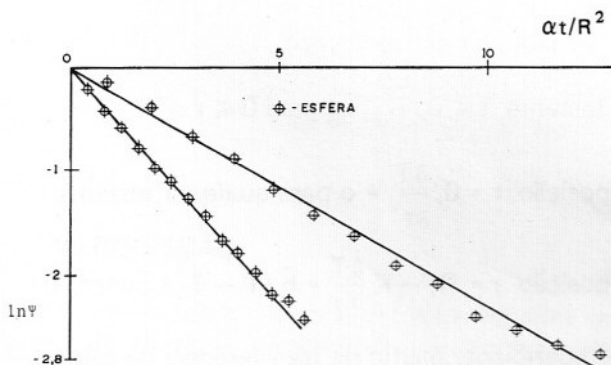


Figura 3 - Ajuste dos dados experimentais à equação (3.2.4)

### 3.3 Cilindro Infinitamente Longo

- Condução Unidimensional em coordenada cilíndrica.

$$\frac{\partial T}{\partial t} = \alpha \frac{1}{r} \frac{\partial}{\partial r} \left( r \frac{\partial T}{\partial r} \right) \quad (3.3.1)$$

$r$  - Distância radial em relação ao eixo do cilindro.

$R$  - Raio do cilindro

- Solução da equação (3.3.1), conforme referência [1]:

$$\frac{T - T_\infty}{T_o - T_\infty} = \sum_{n=1}^{\infty} \frac{\exp[-\beta_n^2 (\alpha t/R^2)] (R\bar{h}/K) J_0[\beta_n (r/R)]}{[\beta_n^2 + (R\bar{h}/K)^2] J_0(\beta_n)} \quad (3.3.2)$$

$\beta_n$  - Raízes positivas e negativas de (3.3.3)

$$\beta_n J_1(\beta_n) = (R\bar{h}/K) J_0(\beta_n) \quad (3.3.3)$$

$J_n(\beta)$  - Função de Bessel de primeira espécie de ordem  $n$

Considerando somente o primeiro termo da série, tem-se para  $r=0$ :

$$1n\Psi = -\beta_n^2 (\alpha t/R^2) + 1n c$$

$$1n\Psi = \beta_n^2 F_o + 1n c, c = \text{cte} \quad (3.3.4)$$

O valor de  $\beta_n$  é encontrado, ajustando os valores medidos  $\Psi$  e  $F_o$  à equação (3.3.4), por regressão linear, conforme a Figura 4. O valor de  $\bar{h}$  é determinado pela equação (3.3.3).

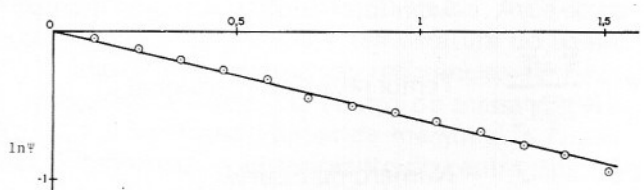
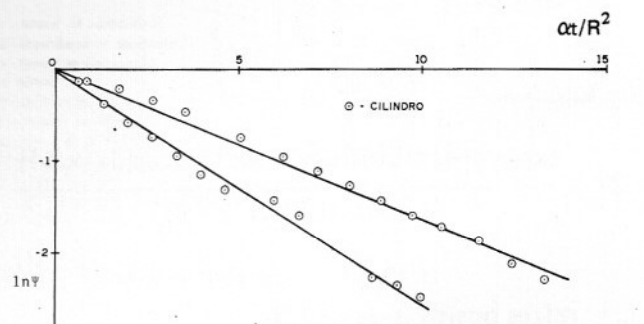


Figura 4 - Ajuste dos dados experimentais à equação (3.3.4)

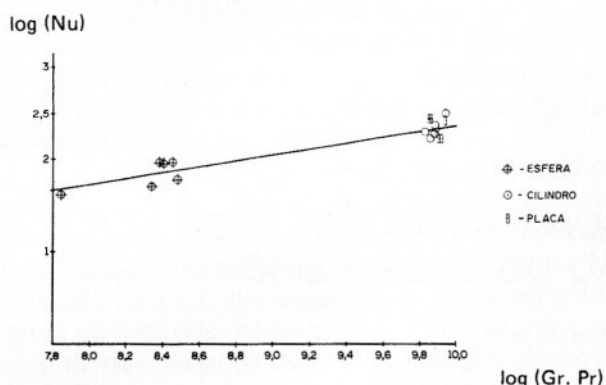


Figura 5 - Ajuste dos dados experimentais à equação (3.4.2)

### 3.4 Correlação para Convecção Natural

Verificou-se que os dados experimentais, tanto no regime laminar quanto no turbulento, para muitas configurações geométricas, podem ser correlacionadas pela fórmula:

$$\bar{Nu} = c (Gr. Pr)^n \quad (3.4.1)$$

obtida das referências [2] e [4]

$\bar{Nu}$ — Número de Nusselt médio para o escoamento

$Gr$ — Número de Grashof

$Pr$ — Número de Prandtl do fluido

$$\bar{Nu} = \frac{\bar{h}L_c}{K_f}, \quad Gr = \frac{g\beta_f (T_s - T_\infty)L^3}{\nu_f^2}$$

$L_c$ — Dimensão característica

$\beta_f$ — Coeficiente de expansão térmica do fluido

$T_s$ — Temperatura da superfície externa do sólido

$\nu_f$ — Viscosidade cinemática do fluido

$K_f$ — Condutibilidade térmica do fluido

Mikheyev [4] indicou que se use as propriedades do fluido  $\beta_f$ ,  $\nu_f$  e  $k_f$  na temperatura média da película, dada por:

$$\bar{T} = \frac{T_s + T_\infty}{2}$$

Indicou que se use para  $L_c$  os valores:

$L_c$ — Diâmetro, para esferas

$L_c$ — Altura, para cilindros e placas verticais

De (3.4.1) tem-se:

$$\log \bar{Nu} = \log c + n \log (Gr. Pr) \quad (3.4.2)$$

Os coeficientes  $c$  e  $n$  foram determinados ajustando os valores experimentais  $\bar{Nu}$  e  $(Gr. Pr)$  à equação (3.4.2) por regressão linear, conforme a Figura 5.

Para a faixa de  $(Gr. Pr.)$  de  $6,3 \times 10^7$  à  $1,0 \times 10^{10}$ , encontrou-se  $c = 0,1315$  e  $n = 0,33$ .

Para a mesma faixa, Mikheyev propôs

$$c = 0,135 \quad e \quad n = 0,33.$$

### 4 CONCLUSÕES

Para a faixa explorada de número de  $(Gr. Pr)$  os valores encontrados estão em boa concordância com a equação proposta por Mikheyev.

Poderia-se explorar valores de  $(Gr. Pr)$  compreendidos entre  $3,2 \times 10^8$  à  $5 \times 10^9$ , como mostra a Figura 3.4. Neste caso, porém, seria necessário alterar as dimensões dos corpos de prova, ou alterar a temperatura do banho.

### REFERÊNCIAS BIBLIOGRÁFICAS

- [1] CROSBY, E.J. "Experimental in Transport Phenomena", John Wiley and Sons, Inc., New York.
- [2] KREITH, F. "Princípios da Transmissão de Calor" 3a. edição Americana. Editora Edgard Blücher. São Paulo, 1977.
- [3] KERN, D.O. "Processos de Transmissão de Calor", Editora Guanabara Dois, Rio de Janeiro, 1980.
- [4] MIKHEYEV, M. "Fundamentals of Heat Transfer", Peace Publishers, Moscou.